

## 4. FORMULE COULOMBIENE

### i) Cazul $R^3$

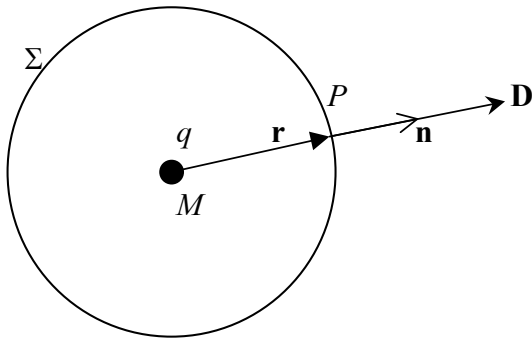


Fig.4.1. Câmpul electric produs de o sarcină electrică punctuală.

Fie o sarcină electrică punctuală  $q$ , situată într-un mediu omogen nemărginit, de permitivitate  $\varepsilon$ . Aplicăm legea fluxului electric pe o suprafață sferică  $\Sigma$  cu centrul în punctul  $M$ , în care se află sarcina electrică (Fig.4.1):

$$\oint_{\Sigma} \mathbf{D} \cdot \mathbf{n} dS = q$$

Din motive de simetrie sferică,  $\mathbf{D}$  are doar componentă radială pe  $\Sigma$  și aceasta este constantă pe  $\Sigma$ . Atunci, din relația de mai sus, rezultă:

$$q = \oint_{\Sigma} D dS = D \oint_{\Sigma} dS = 4\pi r^2 D$$

de unde:

$$D = \frac{q}{4\pi r^2}$$

și:

$$\mathbf{D} = D \frac{\mathbf{r}}{r} = \frac{q\mathbf{r}}{4\pi r^3}$$

apoi:

$$\mathbf{E} = \frac{q\mathbf{r}}{4\pi\epsilon r^3} \quad (4.1)$$

Deoarece  $\mathbf{E}$  este funcție doar de  $\mathbf{r}$ , putem admite că și  $V$  este funcție de  $r$ . Ca urmare, (v. Anexa A):

$$\mathbf{E} = -\text{grad}V(r) = -\frac{\mathbf{r}}{r}V'(r)$$

Ținând cont de relația (4.1), avem:

$$V' = -\frac{q}{4\pi\epsilon r^2}$$

de unde:

$$V = \frac{q}{4\pi\epsilon r} + C$$

Impunând valoarea nulă pentru potențialul de la infinit ( $r \rightarrow \infty \Rightarrow V=0$ ), rezultă:

$$V = \frac{q}{4\pi\epsilon r} \quad (4.2)$$

Folosind acest rezultat, putem calcula  $\mathbf{E}$ ,  $V$  produse într-un mediu omogen nemărginit, de o distribuție volumică de sarcină electrică  $\rho_v$  (Fig.4.2). Împărțim domeniul  $\mathcal{D}$ , în care avem sarcină electrică, în mici subdomenii de volume  $\Delta v_k$ , în care sarcina electrică este  $\Delta q_k = \rho_{v_k} \Delta v_k$ , unde  $\rho_{v_k}$  este densitatea de sarcină electrică într-un punct  $M_k$  din interiorul subdomeniului  $k$ . Intensitatea câmpului electric  $\Delta \mathbf{E}_k$ , produsă de mica sarcină electrică  $\Delta q_k$  în punctul  $P$  descris de vectorul de poziție  $\mathbf{r}_k = \mathbf{r}_P - \mathbf{r}_{M_k}$  față de punctul  $M_k$ , este dată de relația (4.1):

$$\Delta \mathbf{E}_k = \frac{\rho_{v_k} \Delta v_k \mathbf{r}_k}{4\pi\epsilon r_k^3}$$

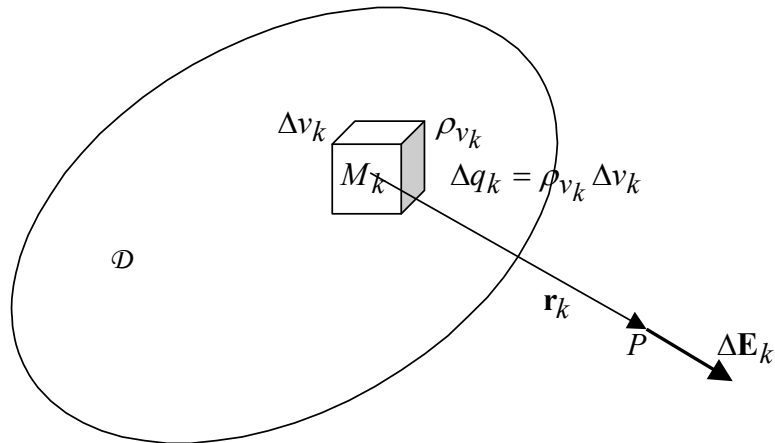


Fig.4.2. Câmpul electric creat de o distribuție volumică de sarcină electrică.

Însumând contribuțiile tuturor subdomeniilor din  $\mathcal{D}$ , rezultă:

$$\mathbf{E} = \sum_k \Delta \mathbf{E}_k = \sum_k \frac{\rho_{v_k} \Delta v_k \mathbf{r}_k}{4\pi\epsilon r_k^3}$$

Limita expresiei de mai sus, pentru o divizare arbitrar de fină este:

$$\mathbf{E} = \frac{1}{4\pi\epsilon} \int_{\mathcal{D}} \frac{\rho_v \mathbf{r}}{r^3} dv \quad (4.3)$$

La fel:

$$V = \frac{1}{4\pi\epsilon} \int_{\mathcal{D}} \frac{\rho_v}{r} dv \quad (4.4)$$

*Observație.* Ecuația potențialului în mediul omogen (unde  $\varepsilon = \text{ct}$ ) este dată de relația (1.5):

$$-\text{div} \varepsilon \text{grad} V = -\varepsilon \text{div}(\text{grad} V) = -\varepsilon \Delta V = \rho_v$$

deci:

$$-\Delta V = \frac{\rho_v}{\varepsilon} \quad (4.5)$$

Soluția ecuației (4.5) este dată de relația (4.4).

Într-o manieră asemănătoare, se pot stabili intensitatea câmpului electric și potențialul create de o sarcină electrică distribuită pe suprafața  $S$  cu densitatea de suprafață  $\rho_S$ :

$$\mathbf{E} = \frac{1}{4\pi\varepsilon} \int_S \frac{\rho_S \mathbf{r}}{r^3} dS \quad (4.6)$$

$$V = \frac{1}{4\pi\varepsilon} \int_S \frac{\rho_S}{r} dS \quad (4.7)$$

Dacă sarcina electrică este distribuită cu densitatea  $\rho_l$  pe curba  $C$ , atunci:

$$\mathbf{E} = \frac{1}{4\pi\varepsilon} \int_C \frac{\rho_l \mathbf{r}}{r^3} dl \quad (4.8)$$

$$V = \frac{1}{4\pi\varepsilon} \int_C \frac{\rho_l}{r} dl \quad (4.9)$$

*Observații:* a) Integralele (4.3), (4.4) și (4.7) sunt absolut convergente chiar dacă punctul  $P$  se află în domeniul de integrare. În calculul numeric al acestor integrale, se divizează varietatea în elemente mici, se calculează sumele Riemann în care nu se adaugă elementul ce conține punctul  $P$ .

b) Integralele (4.3), (4.6) și (4.8) sunt integrale vectoriale care se fac pe componente (se proiectează integralele pe axele  $ox$ ,  $oy$ ,  $oz$ ).

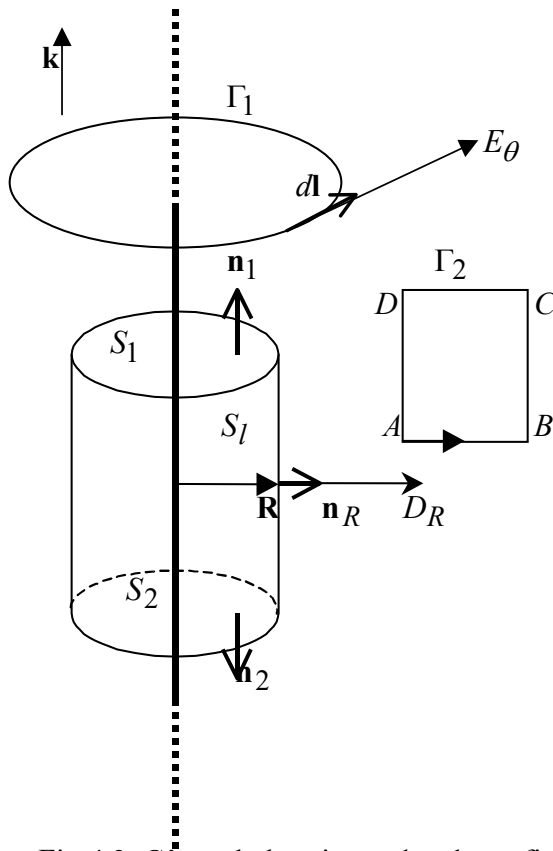


Fig.4.3. Câmpul electric produs de un fir rectiliniu încărcat uniform cu sarcină electrică.

## ii) Cazul $R^2$

Fie un fir rectiliniu infinit de lung, uniform încărcat cu sarcina electrică cu densitatea lineică  $\rho_l$  și aflat într-un mediu omogen și mărginit. Problema are simetrie cilindrică și, datorită faptului că firul este infinit de lung, mărimile nu depind de coordonatele  $z$  și  $\theta$ . Aplicăm legea inducției electromagnetice pe curba  $\Gamma_1$  de formă circulară cu centrul pe fir, de lungime  $l_{\Gamma_1}$ :

$$\oint_{\Gamma_1} \mathbf{E} \cdot d\mathbf{l} = \oint_{\Gamma_1} E_{\theta} dl = E_{\theta} \oint_{\Gamma_1} dl = E_{\theta} l_{\Gamma_1} = 0$$

și rezultă că  $\mathbf{E}$  și  $\mathbf{D}$  nu au componente pe coordonata  $\theta$  ( $E_{\theta} = 0, D_{\theta} = 0$ ). Aplicăm legea inducției electromagnetice pe curba  $\Gamma_2 = ABCDA$  de formă dreptunghiulară, cu laturile  $BC$  și  $DA$  paralele cu firul și ținem cont de faptul că  $\mathbf{E}$  nu depinde de coordonatele  $z$  și  $\theta$ .

$$\begin{aligned} \oint_{\Gamma_2} \mathbf{E} \cdot d\mathbf{l} &= \int_{AB} E_R dl + \int_{BC} E_z(B) dl - \int_{CD} E_R dl - \int_{DA} E_z(D) dl \\ &= E_z(B) \int_{BC} dl - E_z(D) \int_{DA} dl = E_z(B)|BC| - E_z(D)|DA| = 0 \end{aligned}$$

de unde rezultă  $E_z(B) = E_z(D)$ . Deci, componenta lui  $\mathbf{E}$  pe direcția  $z$  este constantă. Impunând  $\mathbf{E} \rightarrow 0$  pentru  $\mathbf{R} \rightarrow 0$ , rezultă că  $E_z = 0$ . Aplicăm legea fluxului

electric pe suprafața închisă  $\Sigma$  de formă cilindrică, cu axa pe fir, de înălțime  $h$ , cu bazele  $S_1, S_2$  și suprafața laterală  $S_l$ :

$$\oint_{\Sigma} \mathbf{D} \cdot \mathbf{n} dS = q_{\Sigma}$$

deci:

$$\int_{S_1} D_z dS - \int_{S_2} D_z dS + \int_{S_l} D_R dS = D_R 2\pi R h = \rho_l h$$

de unde:

$$D = D_R = \frac{\rho_l}{2\pi R}$$

și:

$$\mathbf{E} = \frac{\rho_l \mathbf{R}}{2\pi\epsilon R^2} \quad (4.10)$$

Apoi, admițând că potențialul  $V$  depinde doar de coordonata  $R$ , avem:

$$-grad V = -\frac{\mathbf{R}}{R} V' = \mathbf{E}$$

și, admițând că la  $R_0$  avem  $V=0$ , rezultă:

$$V = \frac{\rho_l}{2\pi\epsilon} \ln \frac{R_0}{R}$$

Dacă  $R_0=1\text{m}$ , avem:

$$V = \frac{\rho_l}{2\pi\epsilon} \ln \frac{1}{R} \quad (4.11)$$

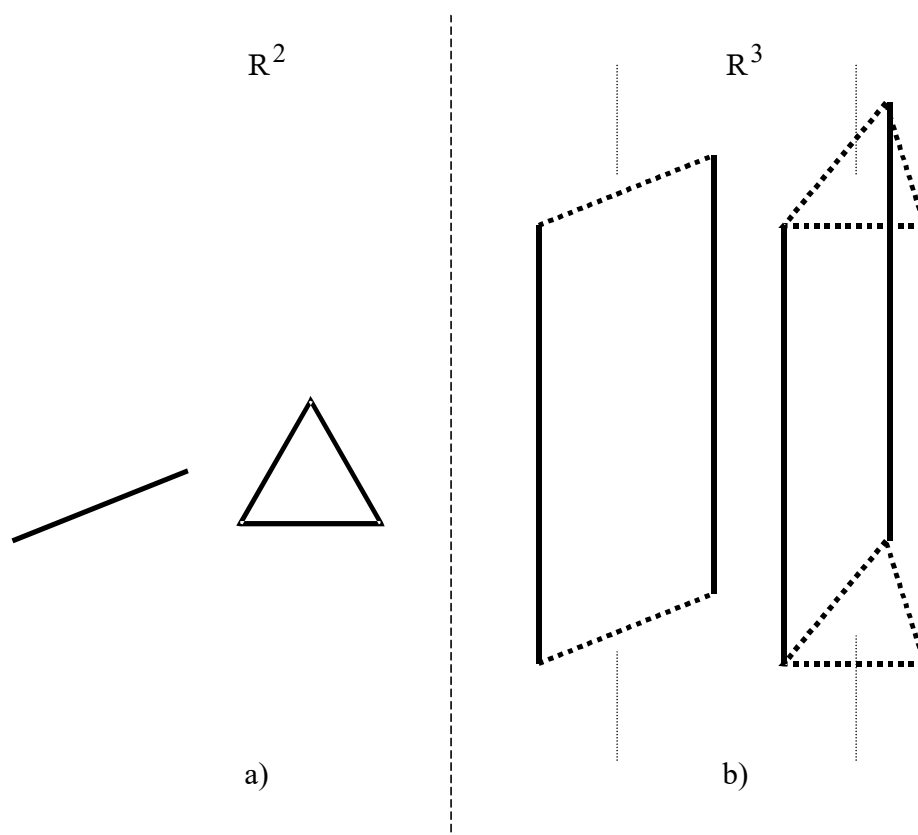


Fig.4.4. Structuri plan-paralele.

Remarcăm că structura analizată mai sus este independentă de coordonata  $z$ . În general, spunem că o structură de corpuri are configurație plan-paralelă dacă există o direcție privilegiată, astfel încât pentru orice secțiune perpendiculară pe această direcție avem aceeași geometrie a corpului și aceleași proprietăți electrice (sarcini și caracteristici constitutive). De exemplu, structura  $R^3$  din Fig.4.3 are configurația plan-paralelă, o secțiune cu un plan perpendicular pe axă fiind descrisă de un punct. Invers, dacă secțiunea dintr-un plan perpendicular pe axă arată ca în Fig.4.4.a), atunci în  $R^3$  structura este dată în Fig.4.4.b). Deci, un fir încărcat cu sarcina electrică distribuită uniform, cu densitatea lineică  $\rho_l$ , corespunde în  $R^2$  unei sarcini electrice "punctuale"  $\rho_l$  sau, pe unitatea de lungime,  $q = \rho_l \cdot 1$ . La fel, pentru

curbe din  $\mathbb{R}^2$  avem densitatea "lineică"  $\rho_S$  [C/m<sup>2</sup>] iar pentru domenii (suprafețe) din  $\mathbb{R}^2$  avem densitatea de "suprafață"  $\rho_V$  [C/m<sup>3</sup>].

Putem spune deci că intensitatea câmpului electric și potențialul create de o sarcină "punctuală" în  $\mathbb{R}^2$  sunt date de formulele (4.10) și (4.11).

Dacă sarcina electrică este distribuită într-un domeniu  $\mathcal{D} \subset \mathbb{R}^2$  cu densitatea de "suprafață"  $\rho_V$ , atunci:

$$\mathbf{E} = \frac{1}{2\pi\epsilon} \int_{\mathcal{D}} \frac{\rho_V \mathbf{R}}{R^2} dS \quad (4.12)$$

$$V = \frac{1}{2\pi\epsilon} \int_{\mathcal{D}} \rho_V \ln \frac{1}{R} dS \quad (4.13)$$

Ambele integrale sunt absolut convergente.

Dacă sarcina electrică este distribuită pe curba  $C$  din  $\mathbb{R}^2$  cu densitatea "lineică"  $\rho_S$ , atunci:

$$\mathbf{E} = \frac{1}{2\pi\epsilon} \int_C \frac{\rho_S \mathbf{R}}{R^2} dl \quad (4.14)$$

$$V = \frac{1}{2\pi\epsilon} \int_C \rho_S \ln \frac{1}{R} dl \quad (4.15)$$

Integrala (4.12) este absolut convergentă.



## P A R T E A   a   III-a. ELECTROKINETICA

### 1. ECUATIILE ELECTROKINETICII

Regimul staționar este acel regim în care mărimile câmpului electromagnetic nu variază în timp ( $\frac{d}{dt} = 0$ ), dar pot avea loc transformări de energie din forma electromagnetică în alte forme. În aceste condiții, legea inducției electromagnetice (v. (2.17') de la Partea I) conduce la:

$$\oint_I \mathbf{E} \cdot d\mathbf{l} = 0 \quad (1.1)$$

cu forma locală (v. (2.17') de la Partea I):

$$\text{rot} \mathbf{E} = 0 \quad (1.1')$$

Din teorema conservării sarcinii electrice (vezi (3.18') de la Partea I), rezultă:

$$\oint_{\Sigma} \mathbf{J} \cdot \mathbf{n} dS = 0 \quad (1.2)$$

cu forma locală (v. (3.19) de la Partea I):

$$\text{div} \mathbf{J} = 0 \quad (1.2')$$

O relație între  $\mathbf{J}$  și  $\mathbf{E}$  este oferită de legea conducției. Pentru medii liniare, de exemplu, avem (v. (3.24), (3.24') de la Partea I):

$$\mathbf{J} = \sigma \mathbf{E} \quad (1.3)$$

sau

$$\mathbf{E} = \rho \mathbf{J} \quad (1.3')$$

Din punct de vedere matematic, dacă adăugăm și condiții de frontieră corect formulate (vezi Anexa B), atunci câmpul electrocinetic ( $\mathbf{J}, \mathbf{E}$ ) care verifică ecuațiile (1.1), (1.2), (1.3) este unic determinat. Deci, putem studia componenta electrocinetică ( $\mathbf{J}, \mathbf{E}$ ) a câmpului electromagnetic, independent de alte componente ale câmpului electromagnetic. Partea din electromagnetism care se ocupă de acest studiu se numeste **Electrocinetică**.

### Potențialul electric

În condițiile relației (1.1), este valabilă teorema potențialului electric (v. par.1.7 de la Partea I): există potențialul electric  $V$  definit prin relația:

$$V(P) = V(P_0) - \int_{P_0}^P \mathbf{E} \cdot d\mathbf{l} \quad (1.4)$$

unde integrala se face pe orice drum de la  $P_0$  la  $P$ , iar  $P_0$  este un punct cu potențial de referință fixat arbitrar. În forma locală, relația (1.4) se scrie:

$$\mathbf{E} = -\text{grad}V \quad (1.4')$$

Înlocuind (1.4') în (1.3) și apoi în (1.2'), rezultă

$$-\text{div} \sigma \text{grad}V = 0 \quad (1.5)$$

### Analogia cu electrostatica

Comparând ecuațiile (1.1)...(1.5) de la acest paragraf cu relațiile (1.1)...(1.5) de la par.2.1, Partea a II-a, se văd imediat corespondențele:

Electrostatică	Electrocinetică
<b>E</b>	<b>E</b>
<b>D</b>	<b>J</b>
$\varepsilon$	$\sigma$
$u$	$u$
$\Psi$	$i$

## 2. REZISTORUL

Fie un domeniu conductor  $\Omega$ , cu frontiera  $\partial\Omega$  (Fig.2.1), unde câmpul electrocinetic (**J**,**E**) verifică următoarele condiții de frontieră:

( $\alpha$ ) pe suprafețele disjuncte  $S_1, S_2 \subset \partial\Omega$  componenta tangențială a intensității câmpului electric **E** este nulă;

( $\beta$ ) pe restul frontierei  $S_0$  componenta normală a densității de curent  $\mathbf{J}$  este nulă.

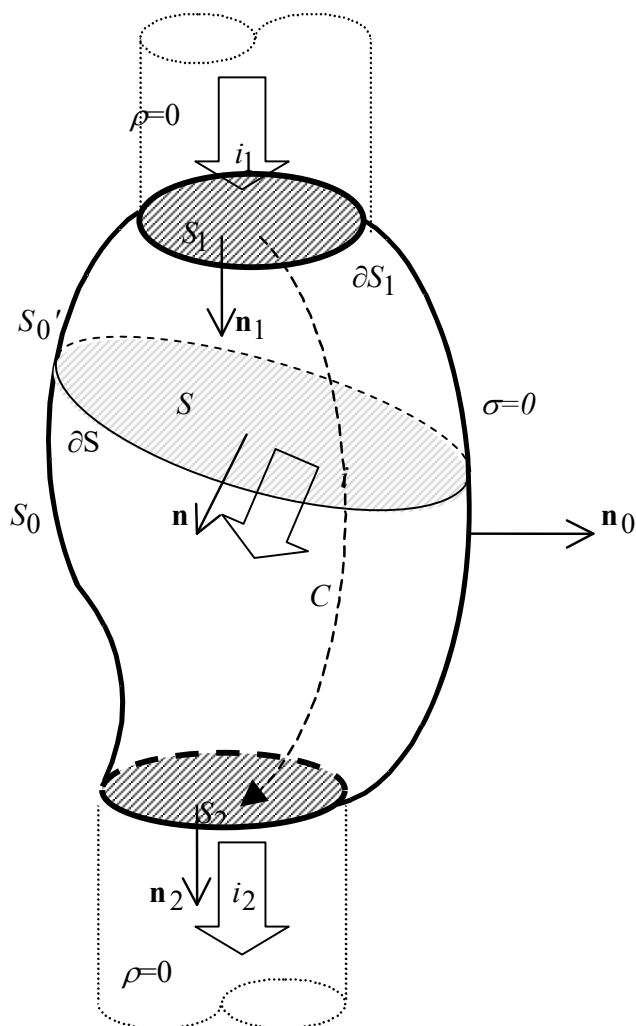


Fig. 2.1. Rezistorul

rezistorului poate fi un astfel de mediu.

c) Din condiția de frontieră ( $\alpha$ ), rezultă că suprafețele  $S_1, S_2$  sunt echipotențiale. Ele se numesc borne. Notăm cu  $V_1$  și  $V_2$  potențialele bornelor.

d) Este bine definită tensiunea rezistorului  $u$  ca fiind tensiunea pe orice curbă  $C$  care leagă cele două borne. Avem:

Domeniul conductor  $\Omega$  cu condițiile de frontieră ( $\alpha$ ), ( $\beta$ ) se numește **rezistor**.

*Observații:* a) Din punct de vedere tehnic, condiția de frontieră ( $\alpha$ ) poate fi realizată atunci când suprafețele  $S_1, S_2$  învecinează domeniul  $\Omega$  cu un mediu perfect conductor ( $\rho \neq 0$ ). Firele de legătură la rezistor pot fi considerate ca fiind un astfel de mediu.

b) Din punct de vedere tehnic, condiția de frontieră ( $\beta$ ) poate fi realizată atunci când suprafața  $S_0$  învecinează domeniul  $\Omega$  cu un mediu perfect izolant ( $\sigma = 0$ ). Aerul din jurul

$$u = \int_C \mathbf{E} \cdot d\mathbf{l} = V_1 - V_2$$

e) Este bine definit curentul electric al rezistorului ca fiind curentul electric prin orice secțiune transversală  $S$  a rezistorului. Într-adevăr, fie suprafața închisă  $\Sigma = S_1 \cup S_2 \cup S_0'$ , unde  $S_0'$  este porțiunea din suprafața  $S_0$  mărginită de bordurile  $\partial S_1$  și  $\partial S$  ale suprafețelor  $S_1$  și, respectiv,  $S$ . Din teorema conservării sarcinii electrice, aplicată acestei suprafețe, rezultă:

$$-\int_{S_1} \mathbf{J} \cdot \mathbf{n}_1 dS + \int_S \mathbf{J} \cdot \mathbf{n} dS + \int_{S_0} \mathbf{J} \cdot \mathbf{n}_0 dS = 0$$

Ținând cont de condiția de frontieră ( $\beta$ ), rezultă:

$$\int_{S_1} \mathbf{J} \cdot \mathbf{n}_1 dS = \int_S \mathbf{J} \cdot \mathbf{n} dS$$

sau:

$$i_1 = i$$

În particular, dacă  $S = S_2$ , atunci:

$$i_1 = i_2 = i$$

### Puterea absorbită de un rezistor

Din Legea transformării energiei din forma electromagnetică în alte forme, prin conducție, rezultă, aplicând formula lui Gauss:

$$P = \int_{\Omega} \mathbf{E} \cdot \mathbf{J} dv = \int_{\Omega} -\text{grad} V \cdot \mathbf{J} dv = - \oint_{\partial\Omega} V \mathbf{J} \cdot \mathbf{n} dS + \int_{\Omega} V \text{div} \mathbf{J} dv \quad (2.1)$$

Ținând cont de relația (1.2'), de condițiile de frontieră și de observațiile d) și e), avem:

$$\begin{aligned}
 P &= - \oint_{\partial\Omega} V \mathbf{J} \cdot \mathbf{n} dS = \int_{S_1} V \mathbf{J} \cdot \mathbf{n}_1 dS - \int_{S_0} V \mathbf{J} \cdot \mathbf{n}_0 dS - \int_{S_2} V \mathbf{J} \cdot \mathbf{n}_2 dS \\
 &= V_1 \int_{S_1} \mathbf{J} \cdot \mathbf{n}_1 dS - V_2 \int_{S_2} \mathbf{J} \cdot \mathbf{n}_2 dS = V_1 i_1 - V_2 i_2 = (V_1 - V_2) i
 \end{aligned}$$

deci:

$$P = ui \quad (2.2)$$

### Rezistența unui rezistor

Conform teoremei de unicitate a câmpurilor staționare (Anexa B), dacă se dă fluxul lui  $\mathbf{J}$  prin una dintre suprafețele  $S_1$  sau  $S_2$ , adică dacă se dă curentul electric  $i$  al rezistorului, atunci câmpul electrocinetic ( $\mathbf{J}, \mathbf{E}$ ) este unic determinat și deci tensiunea  $u$  este unic determinată. Este deci bine definită funcția:

$$i \rightarrow u = f(i) \quad (2.3)$$

Pentru medii liniare, funcția  $f$  este liniară și relația (2.3) devine:

$$u = Ri \quad (2.4)$$

unde  $R$  se numește rezistența rezistorului. Tot din teorema de unicitate, rezultă că, dacă se dă tensiunea  $u$  a rezistorului, atunci câmpul electrocinetic ( $\mathbf{J}, \mathbf{E}$ ) este unic determinat și deci curentul electric al rezistorului este unic determinat. Este, așadar, bine definită funcția:

$$u \rightarrow i = g(u) \quad (2.5)$$

Pentru medii liniare, relația (2.5) devine:

$$i = Gu \quad (2.6)$$

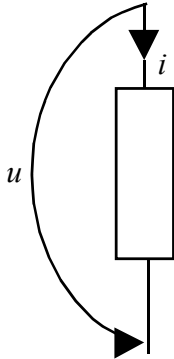


Fig.2.2. Simbolul rezistorului.

unde  $G$  se numește conductanța rezistorului. Avem:

$$R = \frac{1}{G}$$

și, în ipoteza că  $g$  este inversabilă, avem:

$$f = g^{-1}$$

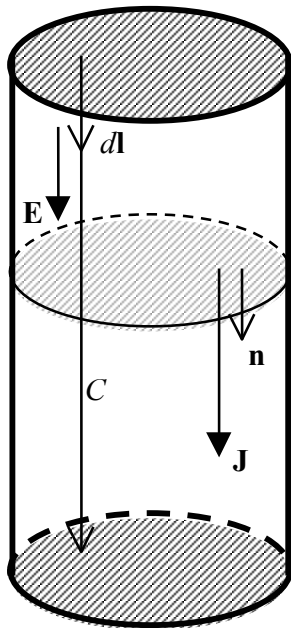


Fig.2.3. Rezistorul cilindric

Rezistența rezistorului este pozitivă. Într-adevăr, din relațiile (2.2), (2.1) și (2.4), rezultă:

$$P = ui = Ri^2 = \int_{\Omega} \mathbf{E} \cdot \mathbf{J} dv = \int_{\Omega} \rho J^2 dv \geq 0,$$

egalitatea având loc doar dacă  $J=0$  și deci  $i=0$ . De unde, rezultă  $R>0$ . La fel,  $G>0$ .

Simbolul rezistorului este cel din Fig.2.2.

**Aplicație.** Rezistența unui rezistor de formă cilindrică (Fig.2.3), de lungime  $l$ , cu aria secțiunii transversale  $A$ , format dintr-un mediu conductor

omogen, de rezistivitate  $\rho$  este:

$$R = \rho \frac{l}{A} \quad (2.7)$$

Într-adevăr, câmpul electrocinetic în cazul acestui rezistor este uniform. Atunci, alegând curba  $C$  chiar linia de câmp, tensiunea rezistorului este

$$u = \int_C \mathbf{E} \cdot d\mathbf{l} = \int_C E dl = E \int_C dl = El = \rho J l \quad (2.8)$$

Alegând secțiunea  $S$  perpendiculară pe generatoarele cilindrului, curentul electric al rezistorului este:

$$i = \int_S \mathbf{J} \cdot \mathbf{n} dS = \int_S J dS = J \int_S dS = JA \quad (2.9)$$

Raportând relațiile (2.8) și (2.9), rezultă (2.7).